
ポスター発表者の方へのご案内

< ポスター発表概要 >

場所：兵庫県民会館 2階 大展示室

日時：2016年9月8日(木) 11:30-12:30, 13:30-14:30

ポスターサイズ：横 90 cm×縦 180 cm 以内

●コアタイムについて

ポスター番号により前後半にコアタイムを分けておりますので、該当時間にはポスター前で説明をお願いします。

I. ポスター番号 偶数 11:30-12:30

II. ポスター番号 奇数 13:30-14:30

※ポスターは分野ごとの配置となり、ポスター番号が採番されています。

ポスター番号は3・4・5頁を参照ください。

●ポスター掲示について

必ずコアタイムまでに掲示ください。

ピン等は事務局で用意しています。

※9月7日(水)は12:00から、9月8日(木)は9:15から掲示いただけます。

●ポスター撤収について

ポスター発表終了後(14:30～)、各自ポスターを撤収ください。

ポスター配置図

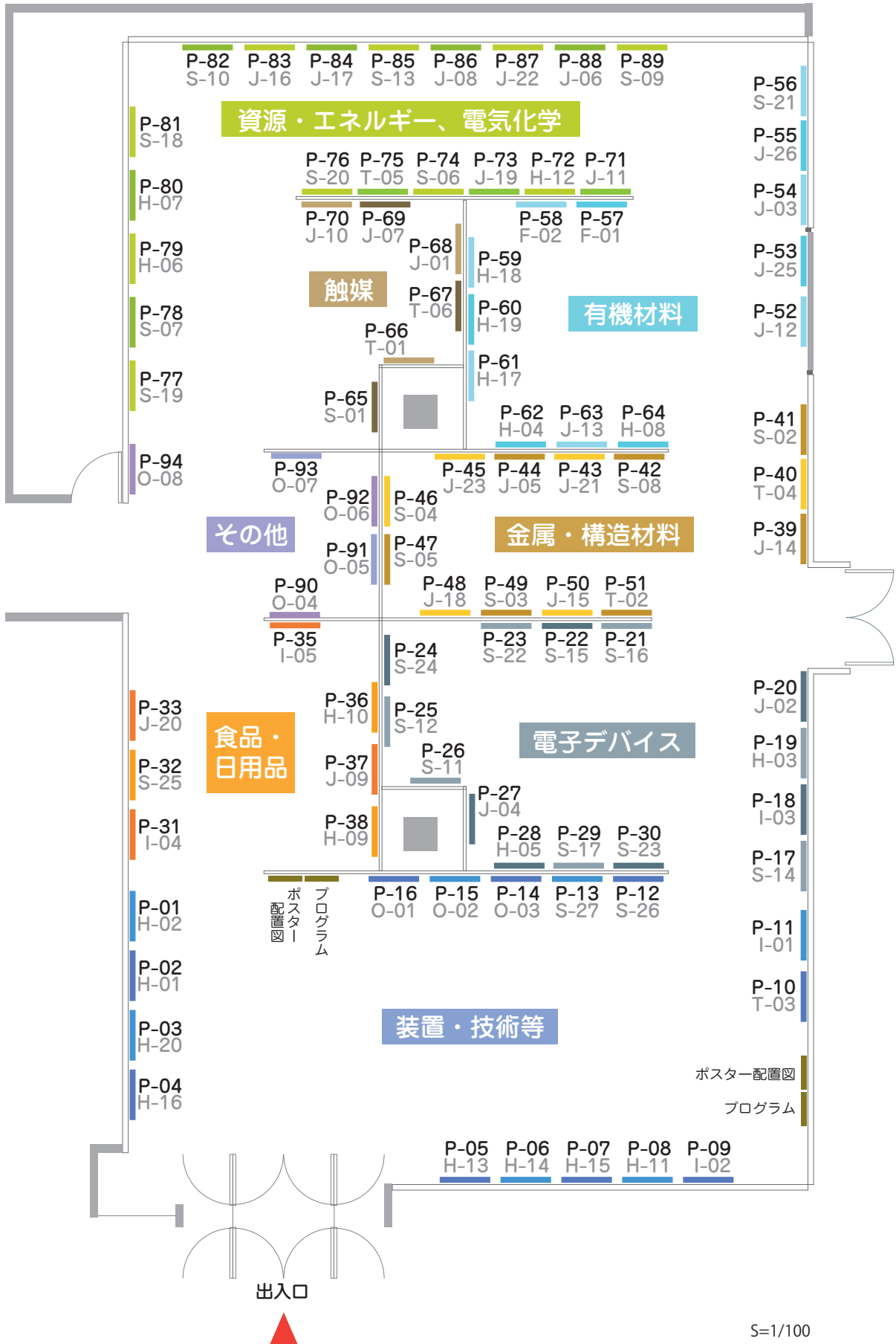
会場：2階 大展示室

ポスター発表：9月8日(木)

コアタイム I / 偶数番号 11:30~12:30

コアタイム II / 奇数番号 13:30~14:30

※ポスター撤収 14:30~



■装置・技術 等

P-01	兵庫県ビームライン BL24XU の現状 公立大学法人兵庫県立大学(放射光ナノテクセンター)	… H-02
P-02	兵庫県ビームライン BL08B2 の現状 公立大学法人兵庫県立大学(放射光ナノテクセンター)	… H-01
P-03	NewSUBARUガンマ線源と高出力EUV光源の産業応用の可能性 宮本 修治(兵庫県立大学 高度産業科学技術研究所)	… H-20
P-04	共鳴遷移放射による加速器EUV光源 天野 壮(兵庫県立大学 高度産業科学技術研究所)	… H-16
P-05	放射光ビームのビーム特性測定に関する 研究I(DuMond diagram) 香川 映貴、竹田 晋吾、籠島 靖(兵庫県立大学 物質理学研究科)	… H-13
P-06	放射光ビームのビーム特性測定に関する 研究II(Phase space) 宮川 天将、竹田 晋吾、籠島 靖(兵庫県立大学 物質理学研究科)	… H-14
P-07	多波近似条件下での前方透過型X線ポグロフィ 鶴丸 哲也、竹田 晋吾、津坂 佳幸、高山 裕貴、籠島 靖、 松井 純爾(兵庫県立大学 物質理学研究科)	… H-15
P-08	兵庫県 BL における NAP-HAXPES 導入計画および産業利用 住田 弘祐(マツダ(株))	… H-11
P-09	多軸回折計を用いたその場 XRD, XAFS の同時測定技術の開発 渡辺 剛((公財)高輝度光科学研究センター)	… H-02
P-10	GISAXS 法による垂直配向シリカナノピラーの解析 山田 有理((株)豊田中央研究所)	… T-03
P-11	硬X線光電子分光法における帯電低減法の検討 安野 聡((公財)高輝度光科学研究センター)	… I-01
P-12	BL16B2ビームラインのビーム強度むらの低減 川村 朋晃(日亜化学工業(株))	… S-26
P-13	サンビームにおける多機能走査型X線顕微鏡の開発 米山 明男((株)日立製作所)	… S-27
P-14	光ビームプラットフォーム (光ビームプラットフォーム)	… O-03
P-15	SPRING-8 企業利用者の動向 佐藤 真直(SPRUC 企業利用研究会)	… O-02
P-16	共用 BL の利用状況と今後の利用制度 廣沢 一郎((公財)高輝度光科学研究センター)	… O-01

■電子デバイス

P-17	SR-XRF によるパワーコントロールユニット用半導体素子の分析 小坂 悟((株)豊田中央研究所)	… S-14
P-18	XRD・XRR・HAXPES による金属/SiC 界面反応層の評価 小金澤 智之((公財)高輝度光科学研究センター)	… I-03
P-19	cos α 法による半導体パッケージ用樹脂/銅界面残留応力の 熱時その場観察 加々良 剛志(住友ベークライト(株))	… H-03
P-20	sin $^2\psi$ 法による半導体パッケージ用樹脂/銅界面残留応力の 熱時その場観察 加々良 剛志(住友ベークライト(株))	… J-02
P-21	完全結晶に近い高結晶性材料の X 線回折測定 宮野 宗彦(日亜化学工業(株))	… S-16
P-22	溶液法 SiC 単結晶の X 線ポグロフィ観察 山口 聡((株)豊田中央研究所)	… S-15

P-23	スキャンポグロフィ法による SiC の定量的な歪観察 米山 明男((株)日立製作所)	… S-22
P-24	原子層堆積法の酸化種に依存する薄膜/基板界面反応 諏訪 智之(東北大学)	… S-24
P-25	HAXPES I による半導体薄膜の深さ方向分析 吉木 昌彦((株)東芝)	… S-12
P-26	XAFS 法による MOCVD 成長 GeSn 薄膜の局所構造評価 臼田 宏治((株)東芝)	… S-11
P-27	X 線回折法を用いた Ge 基板上 Ge _{1-x} Sn _x エピタキシャル膜の 格子定数の精密評価 須田 耕平(明治大学)	… J-04
P-28	斜入射X線回折による Si(111)上に MBE 成長した(Er _{1-x} Sc _x) ₂ O ₃ 膜の 評価 尾身 博雄(NTT 物性科学基礎研究所)	… H-05
P-29	偏光 XAFS 及び FEFF を用いた InGaN 結晶の可視化② 吉成 篤史(日亜化学工業(株))	… S-17
P-30	BaTiO ₃ ナノ粒子膜の放射光による構造評価 淡路 直樹((株)富士通研究所)	… S-23

■食品・日用品

P-31	X 線 CT によるフリーズドライ過程における冷凍食品中の 氷組織変化観察技術の検討 佐藤 真直((公財)高輝度光科学研究センター)	… I-04
P-32	冷凍過程による食品の構造変化 須藤 和幸(三菱電機(株))	… S-25
P-33	X 線 CT によるセファテックスゲルビーズおよび 冷凍パスタ中に形成される氷晶の形状解析 村勢 則郎(東京電機大学)	… J-20
P-35	BL43R 赤外物性ビームラインの紹介 池本 夕佳((公財)高輝度光科学研究センター)	… I-05
P-36	X 線 CT を用いた各国人女性毛髪の観察と ヘアケア製品への応用 鈴木 和之((株)ミルボン)	… H-10
P-37	毛髪表面モデル/水界面のコンディショナー吸着膜構造に対する 長鎖アルコールの効果 柏井 利之(ライオン(株))	… J-09
P-38	X 線 CT を用いたポリマーフォームのセル構造観察 立石 純一郎((株)アシックス)	… H-09

■金属・構造材料

P-39	外部応力負荷下の純 Cu 多結晶における局所応力分布の エネルギー分散型 X 線回折法による測定 菅沼 亮祐(東京工業大学)	… J-14
P-40	回転・公転型スライズスリットを用いた 2D-XRD 測定による 部品内部の局所ひずみ分布解析 瀬戸山 大吾((株)豊田中央研究所)	… T-04
P-41	積層造形品の残留応力評価 日比野 真也(川崎重工(株))	… S-02
P-42	放射光 X 線回折法によるガスタービン動翼用 Ni 基超合金の 損傷評価 向井 康博(関西電力(株))	… S-08
P-43	高輝度放射光を利用した回折コントラストイメージングによる 高サイクル疲労損傷の検出 中井 善一(神戸大学)	… J-21
P-44	放射光 X 線ラミネグラフィによる転位疲労き裂発生 および進展挙動のその場観察 牧野 泰三(新日鐵住金(株))	… J-05

P-45	自動車メタリック塗装のイメージング観察 中山 泰(ダイハツ工業株)	… J-23
P-46	硬X線光電子分光法を用いたアルミ合金上の酸化膜の測定 北原 周((株)神戸製鋼所)	… S-04
P-47	放射光を用いた金属/樹脂界面の化学状態分析 久保 優吾(住友電気工業株)	… S-05
P-48	自動車タイヤゴムおよびゴム-真鍮接着界面の 化学状態解析:HAXPESによるその観察 小澤 健一(東京工業大学)	… J-18
P-49	XAFSとSANSを併用した鋼材表面の腐食過程の評価(3) 横溝 臣智((株)神戸製鋼所)	… S-03
P-50	焼鈍中その場小角散乱法による超微細組織内に分散した Fe析出粒子サイズ変化の測定 宮澤 知孝(東京工業大学)	… J-15
P-51	走査型3DXRD顕微鏡法の開発 妹尾 与志木((株)豊田中央研究所)	… T-02

■有機材料

P-52	光顕微鏡法を用いた有機光電変換層の構築 —高沸点共溶媒の添加による薄膜構造および 光電変換特性の変化— 鈴木 充朗(奈良先端科学技術大学院大学)	… J-12
P-53	2次元すれすれ入射X線回折法による有機熱電材料の 温度変調結晶構造解析 阿部 竜(奈良先端科学技術大学院大学)	… J-25
P-54	<i>In-situ</i> 2D-GIXDによるオリゴチオフェンの結晶構造に及ぼす アルキル鎖長の効果の解明 吉本 則之(岩手大学)	… J-03
P-55	2D-GIXDによる熱変換型有機半導体材料の分子配向と 有機薄膜太陽電池性能との相関 高橋 功太郎(奈良先端科学技術大学院大学)	… J-26
P-56	架橋ポリエチレン被覆材の銅拡散状態分布の解析 百生 秀人((株)日立製作所)	… S-21
P-57	時空間階層構造研究によるタイヤ材料開発 岸本 浩通(住友ゴム工業株)	… F-01
P-58	β 晶ポリプロピレン結晶構造の特徴を生かした材料開発 栗原 英夫(日本ポリケム株)	… F-02
P-59	フッ素系添加剤含有UVナノインプリントレジストのXPS深さ方向 岡田 真(兵庫県立大学 高度産業科学技術研究所)	… H-18
P-60	フォトダイオード直接塗布法によるEUVレジスト透過率測定 原田 哲男、豆崎 大輝、渡辺 雅紀、中谷 侑亮、永田 祥平、 渡邊 健夫(兵庫県立大学 高度産業科学技術研究所)	… H-19
P-61	PTFE微細構造創製のための新プロセスの研究開発 竹内 雅耶、山口 明啓、岸原 充佳、内海 裕一 (兵庫県立大学 高度産業科学技術研究所)	… H-17
P-62	両親媒生分子の構造解析 鈴木 拓也((株)MCHC R&D シナジーセンター)	… H-04
P-63	小角X線散乱法による末端機能化ゴム材料を用いた配合物中での シリカの三次元階層構造の解析 曾根 卓男(JSR株)	… J-13
P-64	放射光 SAXSを用いたゴム構造解析と製品応用 岸本 浩通(住友ゴム工業株)	… H-08

■触媒

P-65	ガス雰囲気変動下における三元触媒の XAFS 評価 松田 千明(川崎重工株)	… S-01
P-66	X線吸収分光によるNOx吸蔵還元型NSR触媒の時空間解析 加藤 晃彦((株)豊田中央研究所)	… T-01
P-67	バイメタリック触媒の operando ³ 次元原子分布解析 西村 友作((株)豊田中央研究所)	… T-06
P-68	レプリン酸の高選択的変換に高活性を示す ハイドロキシアバタイト固定化Pt-Mo触媒のXAFS解析 金田 清臣(大阪大学)	… J-01
P-69	水素添加反応下での担持金属触媒の <i>in-situ</i> XAFS 評価 国貞 正洋((株)東レリサーチセンター)	… J-07
P-70	酢酸ビニル気相合成工業触媒の選択性向上と構造解析 高木 由紀夫(エヌ・イーケムキャット株)	… J-10

■資源・エネルギー、電気化学

P-71	新開発化物イオン伝導体の粉末X線結晶構造解析 白岩 大裕(東京工業大学)	… J-11
P-72	マイクロビーム放射光計測による燃料電池電解質の 粒界構造評価 嶺重 温(兵庫県立大学大学院 工学研究科)	… H-12
P-73	酸化物イオン伝導体(LnBa _{1-x} Sr _x Co ₂ Fe _{0.5} O _{6.5} (Ln=Pr,Gd,Nd))の 解析および固体酸化物燃料電池への応用 岩井 広幸((株)リタケカンパニーリミテド)	… J-19
P-74	放射光分析を用いた電池材料の構造解析 徳田 一弥(住友電気工業株)	… S-06
P-75	固体酸化物燃料電池燃料極の <i>in-situ</i> XAFS 解析 藤田 悟((株)豊田中央研究所)	… T-05
P-76	Pt/YBaZrO ₃ 界面における高プロトン濃度空間電荷層の 自発的形形成: ナノイオニクス効果 浅野 哲也(パナソニック株)	… S-20
P-77	精密合成された新規燃料電池用触媒の構造及び電子状態計測 大岡 潤治(山梨大学)	… S-19
P-78	リチウムイオン二次電池正極活物質の <i>in-situ</i> XAFS 解析 後藤 習志(ソニー株)	… S-07
P-79	Sm ₂ O ₃ コーティングしたLi ₂ MnO ₃ 正極を用いた 大容量リチウムイオン電池 弓削 亮太(NEC)	… H-06
P-80	低温下におけるリチウムイオン電池の <i>in-situ</i> 分析 東 遥介((株)住化分析センター)	… H-07
P-81	オペランド共焦点XRDによるリチウムイオン二次電池の 反応分布解析 高尾 直樹((株)日産アーク)	… S-18
P-82	XAFS測定によるリチウムイオン電池の混合正極における 劣化反応解析 小林 剛((一財)電力中央研究所)	… S-10
P-83	オペランド回折測定による市販蓄電池の正負極の反応解析 小林 剛((一財)電力中央研究所)	… J-16
P-84	CT観察と線吸収係数による正極粒子の形貌評価 小林 剛((一財)電力中央研究所)	… J-17
P-85	HAXPESによるリチウム二次電池電極膜の分析 高橋 直子((株)豊田中央研究所)	… S-13

P-86	イオン液体電解質を用いた炭素負極の ナトリウムイオン電池特性と界面反応 久保田 圭(東京理科大学)	… J-08
P-87	石油増産回収技術への応用を目的とした油-鉱物の 二相界面における吸着構造変化の解明 立山 優(京都大学)	… J-22
P-88	溶融塩電解によるタンタル回収を目指した高温 <i>in-situ</i> XAFS 篠田 弘造(東北大学)	… J-06
P-89	蛍光 XAFS 法を用いた膨硫石膏中セレンの化学形態分析 秋保 広幸((一財)電力中央研究所)	… S-09

■その他

P-90	ひょうご Spring-8 賞 兵庫県	… O-04
P-91	(一財)高度材料科学研究機構	… O-05
P-92	(一財)総合科学研究機構	… O-06
P-93	茨城県	… O-07
P-94	あいちシンクロトロン光センター	… O-08